

# **Goodness of Fit**

---

Wie gut passt das Modell? Deviance = Lack of fit.

$\hat{L}_c = L_c(\hat{\beta})$  = maximale Likelihood des betrachteten Modells (c= current)

$\hat{L}_f$  = maximale Likelihood des vollen Modells (perfekter Fit:  $y_i/n_i = \hat{p}_i$ )

(skalierte) Devianz:

$$D^* = -2 \log\left(\frac{\hat{L}_c}{\hat{L}_f}\right) = -2[\log \hat{L}_c - \log \hat{L}_f]$$

# **Devianz für Binomialdaten**

---

Likelihood-Funktion:

$$L(\boldsymbol{\beta}) = \prod_{i=1}^n \binom{n_i}{y_i} p_i^{y_i} (1 - p_i)^{n_i - y_i}$$

Devianz:

$$D^* = 2 \sum_{i=1}^n \left\{ y_i \log \left( \frac{y_i}{\hat{y}_i} \right) + (n_i - y_i) \log \left( \frac{y_i}{\hat{y}_i} \right) \right\}$$

Bei  $p$  unbekannten Parametern ist  $D^* \stackrel{as}{\sim} \chi^2_{n-p}$ , falls  $n_i$  genügend gross. D. h. wenn  $D^*$  ca.  $n - p$ , dann ist das Modell gut. Für  $D^* > \chi^2_{n-p, 0.95}$  sign. Lack of Fit.

# **Devianz für Binärdaten**

---

Devianz:

$$D^* = -2 \sum_{i=1}^n \{\hat{p}_i \log \hat{p}_i + (1 - \hat{p}_i) \log(1 - \hat{p}_i)\}$$

Die Devianz  $D^*$  ist für binäre Daten kein sinnvolles Mass für die Diskrepanz zwischen Beobachtungen (Daten) und angepassten Werten (Modell), da sie nicht abhängt von den Beobachtungen.

# **Vergleich von Modellen**

---

Modell (1):  $q$  Parameter       $D_1^*$  mit  $df = n - q$

Modell (2):  $p$  Parameter       $D_2^*$  mit  $df = n - p$

$q < p$ , Modell (1) ist im Modell (2) enthalten.

Modellvergleich heisst  $H_0 : \beta_{q+1} = \dots = \beta_p = 0$

$$D_1^* - D_2^* = -2 \left[ \log \hat{L}_{c_1} - \log \hat{L}_{c_2} \right] \sim \chi_{p-q}^2$$

Falls  $D_1^* - D_2^* > \chi_{p-q, 0.95}^2$  ist, genügt das kleinere Modell (1) nicht.

AIC Kriterium:  $AIC = D^* + 2p$ .

# **Prognose bei Prostatakrebs**

---

Haben das Alter, Phosphatasenaktivität, Röntgenbefund (0=negativ, 1=positiv), Tumogröße (0= klein, 1=gross) und Tumorgrad (0= weniger ernst, 1= ernst) einen Zusammenhang mit der Ausbreitung des Krebses in die Lymphknoten?

Pat	Age	Acid	X-ray	Size	Grade	Nodal Involv.
1	66	0.48	0	0	0	0
2	68	0.56	0	0	0	0
...	...	...	...	...	...	...

# **R-Output für Prostata**

```
glm(formula= y ~age + log(acid) + xray + size + grade,  
family = binomial,data = prostata)
```

Coefficients:

	Estimate	Std. Error	z value	Pr(> z  )
(Intercept)	2.45977	3.52218	0.698	0.4849
age	-0.06370	0.05874	-1.085	0.2781
log(acid)	2.57250	1.19700	2.149	0.0316 *
xray1	2.04009	0.82885	2.461	0.0138 *
size1	1.54664	0.78113	1.980	0.0477 *
grade1	0.83447	0.78895	1.058	0.2902

Null deviance: 70.252 on 52 degrees of freedom

Residual deviance: 46.560 on 47 degrees of freedom

AIC: 58.56

# **R-Output für Prostata (Fort. I)**

```
> add1(glm3,~.^2, test="Chisq")  
Single term additions  
Model:  
y ~ age + log(acid) + xray + size + grade  


|                 | Df | Deviance | AIC    | LRT   | Pr(Chi)     |
|-----------------|----|----------|--------|-------|-------------|
| <none>          |    | 46.560   | 58.560 |       |             |
| age:log(acid)   | 1  | 46.035   | 60.035 | 0.525 | 0.468550    |
| age:xray        | 1  | 45.518   | 59.518 | 1.042 | 0.307274    |
| age:size        | 1  | 46.485   | 60.485 | 0.075 | 0.783925    |
| age:grade       | 1  | 45.915   | 59.915 | 0.645 | 0.421786    |
| log(acid):xray  | 1  | 45.593   | 59.593 | 0.967 | 0.325529    |
| log(acid):size  | 1  | 46.540   | 60.540 | 0.020 | 0.887510    |
| log(acid):grade | 1  | 42.518   | 56.518 | 4.042 | 0.044385 *  |
| xray:size       | 1  | 46.303   | 60.303 | 0.257 | 0.612271    |
| xray:grade      | 1  | 46.514   | 60.514 | 0.046 | 0.829807    |
| size:grade      | 1  | 38.431   | 52.431 | 8.129 | 0.004356 ** |


```

# **R-Output für Prostata (Fort. II)**

---

```
> stepAIC(glm5) #library(MASS)
Start: AIC= 51.34
y~age + log(acid) + xray + size + grade + grade:size + log(acid):grade
              Df Deviance     AIC
- age           1   36.287 50.287
<none>          35.338 51.338
- log(acid):grade  1   38.431 52.431
- xray           1   41.104 55.104
- size:grade      1   42.518 56.518

Step: AIC= 50.29
y ~ log(acid) + xray + size + grade + size:grade + log(acid):grade
              Df Deviance     AIC
<none>          36.287 50.287
- log(acid):grade  1   40.454 52.454
- xray            1   41.982 53.982
- size:grade       1   43.157 55.157
```

# **R-Output für Prostata (Fort.III)**

---

```
Call: glm(formula = y ~ log(acid) + xray + size + grade +  
size:grade + log(acid):grade, family = binomial, data = pros)
```

Coefficients:

(Intercept)	log(acid)	xray1	size1	grade1	size1:grade1
-2.553	1.709	2.340	3.138	9.961	-5.648
log(acid):grade1					
	10.426				

Degrees of Freedom: 52 Total (i.e. Null); 46 Residual

Null Deviance: 70.25

Residual Deviance: 36.29 AIC: 50.29

# ***Definition von Residuen***

---

Sei  $\hat{y}_i = n_i \hat{p}_i$ .

Pearson Residuen:

$$\frac{y_i - \hat{y}_i}{\sqrt{n_i \hat{p}_i (1 - \hat{p}_i)}}$$

Devianz Residuen:

$$sign(y_i - \hat{y}_i) \sqrt{d_i}$$

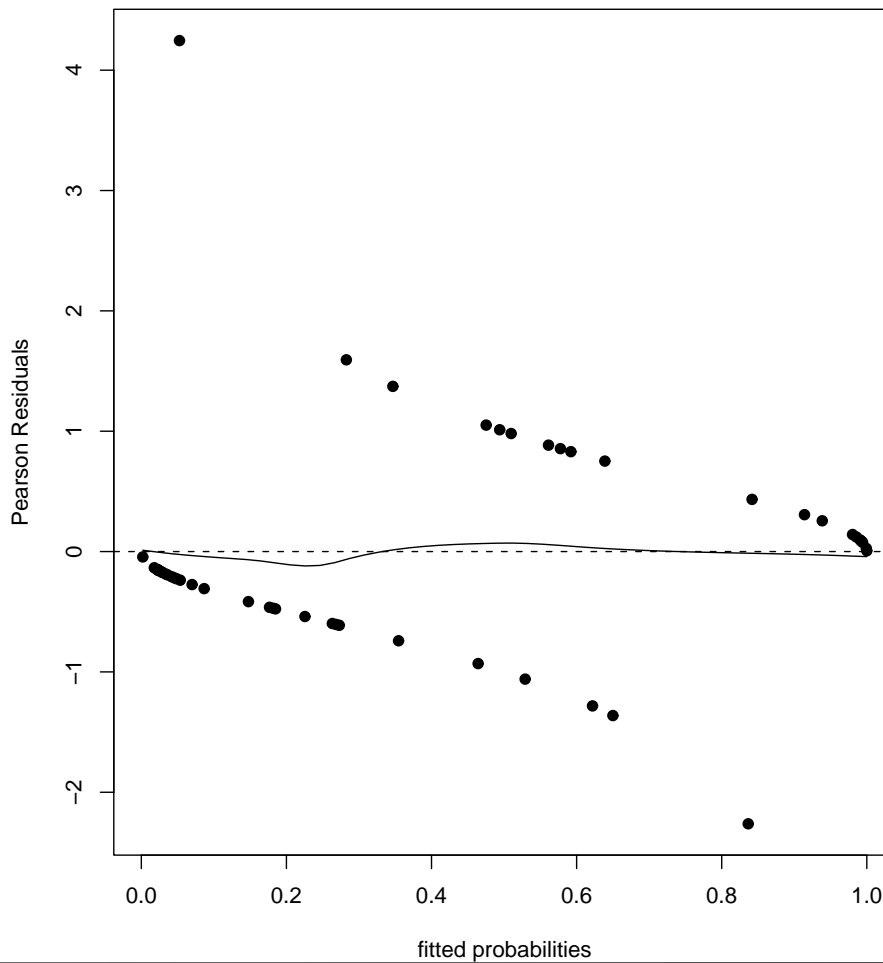
wobe  $d_i$  die i-te Komponente der Devianz ist.

# Residuenanalyse

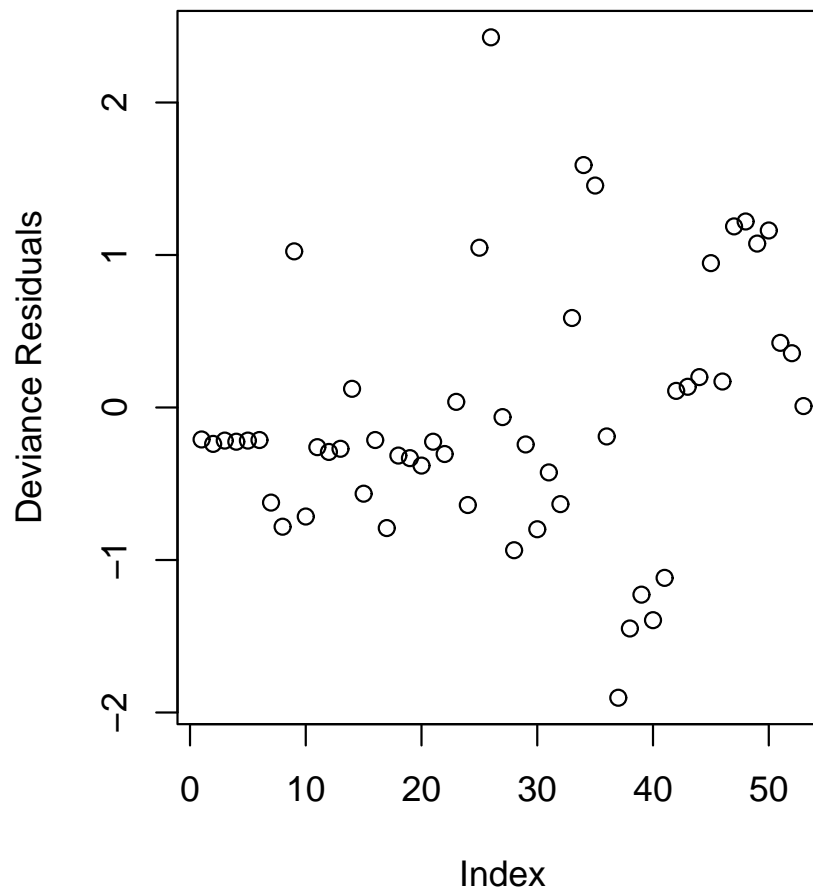
---

- Für Binärdaten nehmen die Residuen für gegebenes  $i$  nur 2 Werte an. Der Plot Res vs.  $\hat{p}_i$  ist deshalb schwer interpretierbar. Glättung hilft.
- Normalplot macht keinen Sinn, ausser wenn die  $n_i$  gross sind.
- Indexplot der Residuen zur Identifikation von Ausreissern (Fehlklassifikationen)
- Leverages und Cook's Distances

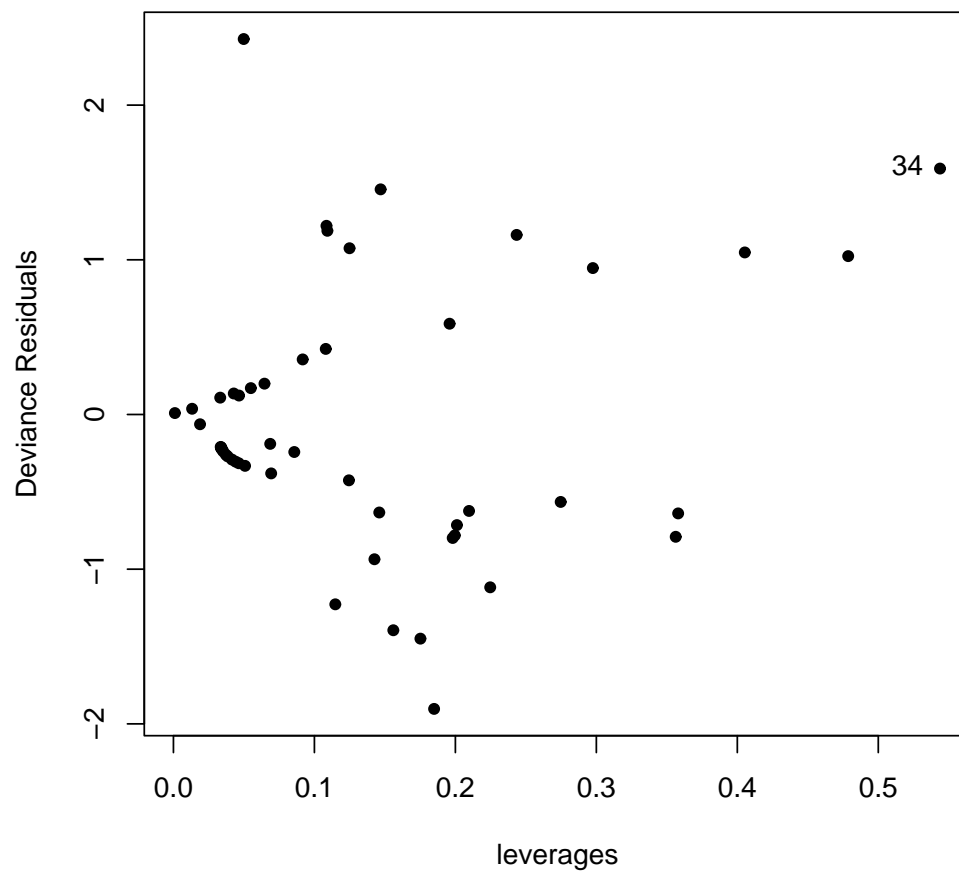
# *Pearson Residuen vs. $\hat{p}_i$*



# *Indexplot Devianz-Residuen*



# *Devianz-Residuen vs. Leverages*



# *Cook's Distances*

